

PMT3532 -



Escola Politécnica da
Universidade de São Paulo



Termohidráulica de Sistemas de
Geração de Potência I- Aula 06



Prof. Dr. Alfredo Alvim
CEN- Centro Engenharia Nuclear
IPEN/CNEN- MCTIC

1

Conceitos de Mecânica dos Fluidos

AFD

Development of boundary-layer flow in pipe

EFD

CFD

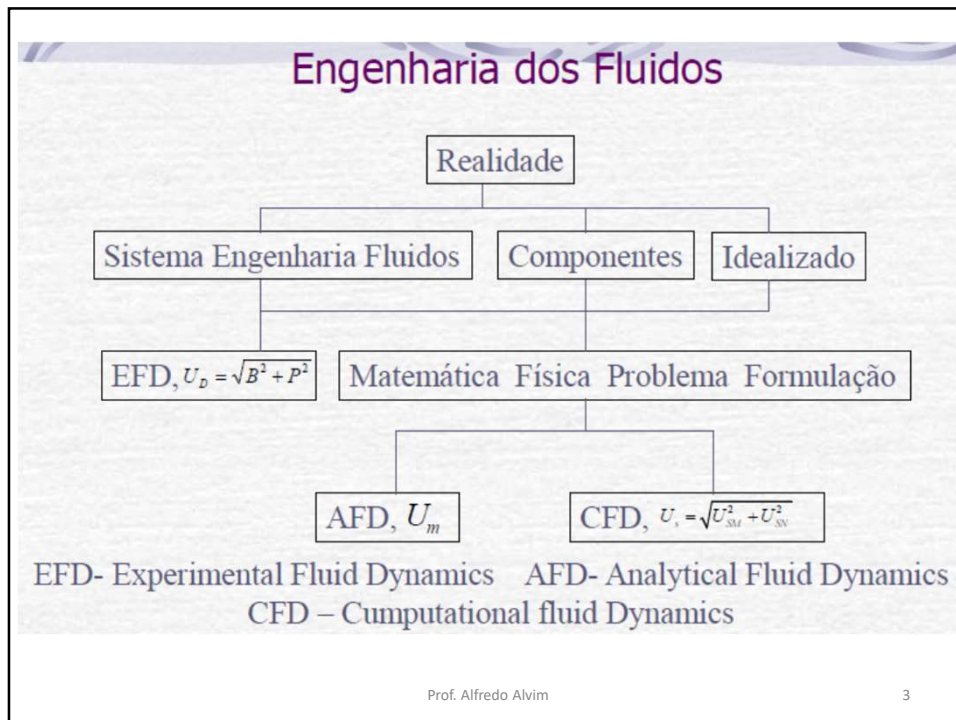
$$\nabla \cdot \mathbf{U} = 0$$

$$\frac{DU}{Dt} = -\nabla p + \frac{1}{Re} \nabla^2 \mathbf{U} + \nabla \cdot \overline{u_i u_j}$$

Prof. Alfredo Alvim

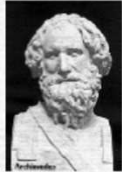









2

2



3

Personalidades da Mecânica dos Fluidos

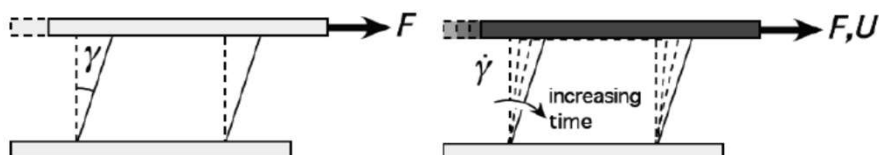
				
Archimedes (C. 287-212 BC)	Newton (1642-1727)	Leibniz (1646-1716)	Bernoulli (1667-1748)	Euler (1707-1783)
				
Navier (1785-1836)	Stokes (1819-1903)	Reynolds (1842-1912)	Prandtl (1875-1953)	Taylor (1886-1975)

Prof. Alfredo Alvim 4

4

O que é um Fluido? É um material em um estado tal que se deforma continuamente quando sujeito a ação de cargas anisotrópicas (tensões cisalhantes), por menor que seja a carga.

Sólidos → oferecem resistência a deformação. Apresentam deformação finita quando submetidos a esforços cisalhantes



Sólido: equilíbrio estático

γ = deformação

Tensão cisalhante: $\tau = F/A = G \gamma$

G = módulo de elasticidade

Líquido: equilíbrio dinâmico

$\dot{\gamma}$ = taxa de deformação

Fluidos Newtonianos:

Lei de Newton: $\tau = \mu \dot{\gamma} = \mu du/dy$

μ = viscosidade (propriedade do fluido)

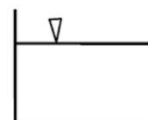
Prof. Alfredo Alvim

5

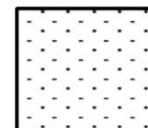
5

Fluidos

- Líquidos: força coesiva entre moléculas é forte.
Possui superfície livre



- Gases: força coesiva entre moléculas é fraca.
Ocupa todo recipiente.



- Caracterização dos Fluidos quanto ao seu comportamento sob esforços normais compressivos:
 - Compressíveis: quando há variação apreciável de volumes devido à compressão. Gases em geral se comportam assim.
 - Incompressíveis: quando a variação do volume é pequena para grandes compressões. A maioria dos líquidos se comporta desta forma.

Prof. Alfredo Alvim

6

6

Propriedades dos Fluidos

- Matéria é formada por moléculas em movimento, colidindo. As propriedades de matérias estão relacionadas com o comportamento molecular

- **Massa específica (ρ):** relaciona-se com a ocupação da matéria
$$\rho = \frac{m}{V} \left(\frac{\text{kg}}{\text{m}^3} \right)$$

- **Volume específico (v):** relaciona-se com a ocupação da matéria
$$v = \frac{V}{m} = \frac{1}{\rho} \left(\frac{\text{m}^3}{\text{kg}} \right)$$

- **Densidade relativa (d):** razão entre a densidade da substância e uma densidade de referência (por exemplo: água). Adimensional
$$d = \frac{\rho}{\rho_{\text{ref}}}$$

Prof. Alfredo Alvim

7

7

- **Pressão (P):** resultante da colisão das moléculas com as paredes do recipiente

$$P \equiv \frac{\text{Força}}{\text{área}} \left(\frac{\text{N}}{\text{m}^2} = \text{Pa} \right)$$

- **Temperatura (T):** é uma medida da energia cinética das moléculas. Medida relativa T (°C, °F) ou absoluta T (K, R)

- Igualdade de temperatura → equilíbrio térmico

- **Viscosidade absoluta (μ):** razão entre a tensão cisalhante (τ) e a taxa de deformação ($\dot{\gamma}$)

$$\mu = \frac{\tau}{\dot{\gamma}} \left(\text{Pa s} = \frac{\text{kg}}{\text{m s}} \right)$$

- **Viscosidade cinemática (ν)**

$$\nu = \frac{\mu}{\rho} \left(\frac{\text{m}}{\text{s}^2} \right)$$

Prof. Alfredo Alvim

8

8

Estática de Fluidos

Um fluido é considerado estático quando as partículas não se deformam, isto é, estão em **repouso** ou em **movimento de corpo rígido**.

Como um fluido não suporta tensões cisalhantes sem se deformar, em um fluido estático só atuam tensões normais (pressão). A pressão exercida em um ponto é igual em todas as direções.

O estudo de estática de fluidos é importante em diversas aplicações, como manometria, propriedades da atmosfera, forças em sistemas hidráulicos e forças em corpos submersos.

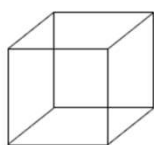
Prof. Alfredo Alvim

9

9

Equações básicas da estática de fluidos

Considere um “cubo de fluido”...



Segunda Lei de Newton: $\sum \vec{F} = m\vec{a}$

Estática: $\vec{a} = 0 \Rightarrow \sum \vec{F} = 0$

$$\vec{F} = \vec{F}_s + \vec{F}_c$$

Força de superfície

Força de corpo

□ Equações diferenciais: equações por unidade de volume

- Equações válidas em todos os pontos do espaço e instantes de tempo

$$\vec{f} = \vec{F} / dV$$

$$\vec{f}_s + \vec{f}_c = 0$$

Equação da estática

Forças de Corpo $\vec{F}_c = \vec{P} = m \vec{g} = \rho dV \vec{g}$

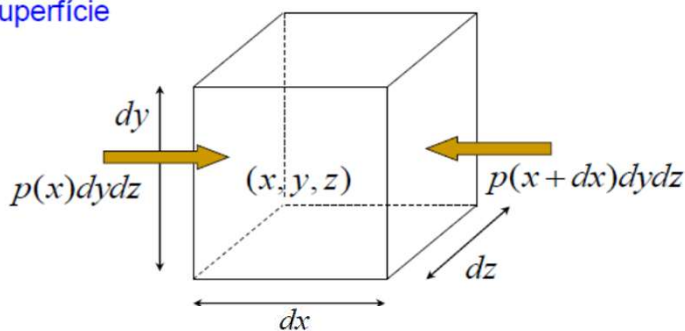
$$\vec{f}_c = \rho \vec{g}$$

Prof. Alfredo Alvim

10

10

Forças de Superfície



Na direção x...

$$p(x)dydz - p(x+dx)dydz \quad \Rightarrow \quad F_x = \left[\frac{p(x) - p(x+dx)}{dx} \right] dx dy dz$$

$$f_x = \frac{F_x}{dV} = - \left[\frac{p(x+dx) - p(x)}{dx} \right] = - \frac{\partial p}{\partial x} \quad f_y = - \frac{\partial p}{\partial y}; \quad f_z = - \frac{\partial p}{\partial z}$$

$$\vec{f}_s = - \frac{\partial p}{\partial x} \vec{i} - \frac{\partial p}{\partial y} \vec{j} - \frac{\partial p}{\partial z} \vec{k} \quad \boxed{\vec{f}_s = -\nabla p}$$

Prof. Alfredo Alvim

11

11

$$\vec{f}_c + \vec{f}_s = 0$$

$$\boxed{-\nabla p + \rho \vec{g} = 0}$$

Em coordenadas cartesianas...

$$-\frac{\partial p}{\partial x} + \rho g_x = 0$$

$$-\frac{\partial p}{\partial y} + \rho g_y = 0$$

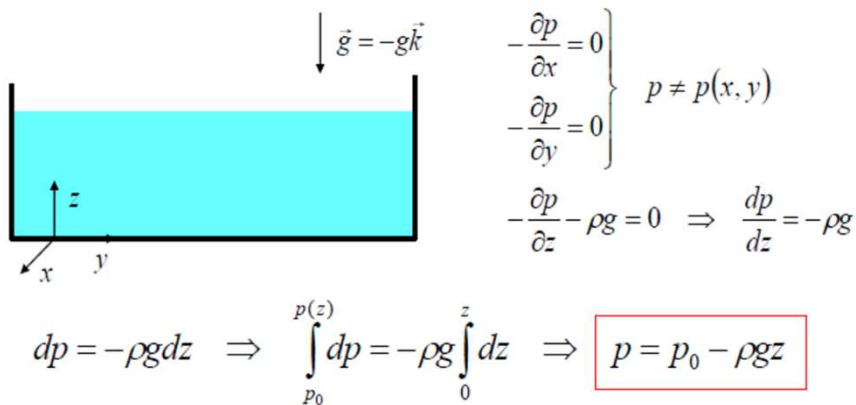
$$-\frac{\partial p}{\partial z} + \rho g_z = 0$$

Prof. Alfredo Alvim

12

12

Variação da pressão em um fluido estático

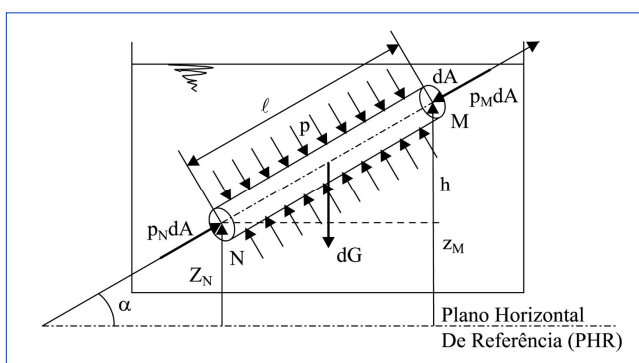


Prof. Alfredo Alvim

13

13

Teorema de Stevin



$$P_N - P_M = \gamma \cdot h$$

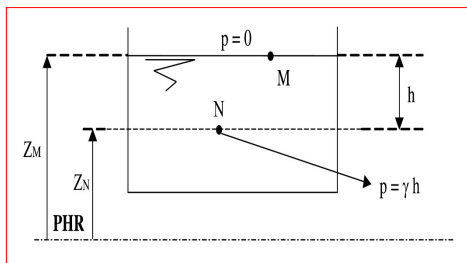
“A diferença de Pressão entre dois pontos de um fluido em repouso é dada pelo peso específico do fluido multiplicado pela diferença de cota gravitacional entre os pontos.”

Prof. Alfredo Alvim

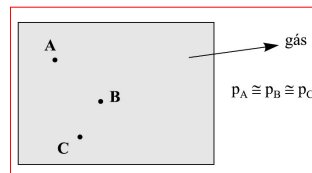
14

14

Aplicações Teorema Stevin



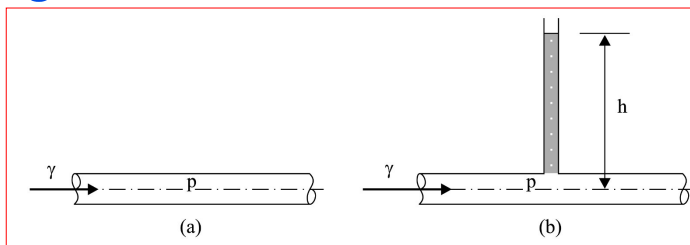
$$\gamma_{\text{gases}} \ll \ll \gamma_{\text{líquidos}}$$



Carga de Pressão



$$\Delta P / \gamma = h$$

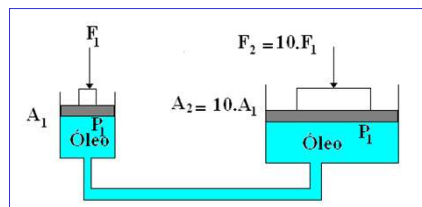
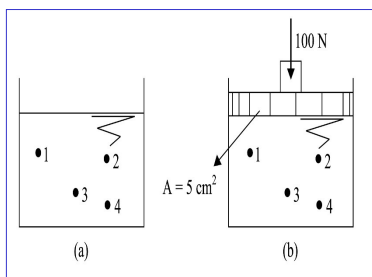


15

15

Lei de Pascal

A pressão aplicada em um ponto de um fluido em repouso transmite-se integralmente a todos os pontos do fluido.



Exs.: Direção hidráulica, freios, macaco hidráulico, prensas hidráulicas, atuadores hidráulicos.

Prof. Alfredo Alvim

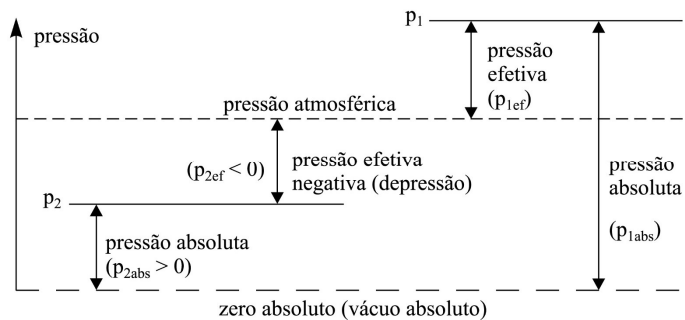
16

16

Escalas de Pressão

$$P_{\text{absoluta}} = P_{\text{manométrica}} + P_{\text{atmosférica local}}$$

$$P_{\text{manométrica}} = P_{\text{efetiva}}$$



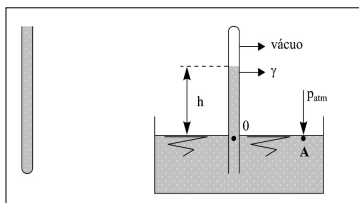
Prof. Alfredo Alvim

17

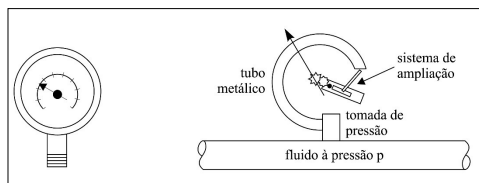
17

Medidores de Pressão Estática

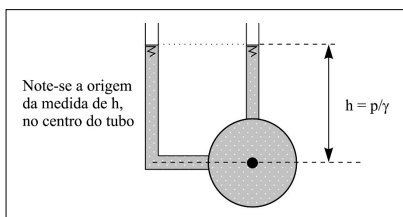
Barômetro



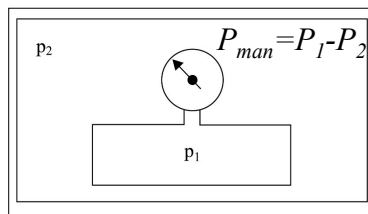
Manômetro de Bourdon



Coluna Piezométrica - Piezômetro



Prof. Alfredo Alvim



18

18

Manômetro com tubo em U

Manômetro em U diferencial

Equação Manométrica

$$P_A + \gamma_1 \cdot h_1 + \gamma_2 \cdot h_2 - \gamma_3 \cdot h_3 + \gamma_4 \cdot h_4 - \gamma_5 \cdot h_5 - \gamma_6 \cdot h_6 = P_B$$

19

19

EMPUXO

Princípio de Arquimedes: “Num corpo total ou parcialmente imerso num fluido, age uma força vertical de baixo para cima, chamada empuxo, cuja intensidade é igual ao peso do volume de fluido deslocado”

CORPO ABCD

$$F_y = \gamma \cdot V_{UABCV}$$

Superfície ABC

$$F_{y'} = \gamma \cdot V_{UADCV}$$

Superfície ADC

$$E = F_y - F_{y'} = \gamma \cdot (V_{UABCV} - V_{UADCV})$$

$$E = \gamma \cdot V_{ABCD} = \gamma \cdot V$$

E= Empuxo;
 V= Volume de fluido deslocado pelo corpo;
 γ = peso específico do fluido.

Prof. Alfredo Alvim 20

20

Fluidos em Movimento

- O escoamento dos fluidos é determinado a partir do conhecimento da velocidade em cada ponto do escoamento, isto é, a partir do campo das diversas grandezas relevantes.
- **Tipos de Campos:**
 - Campo escalar:
 - massa específica: $\rho(\mathbf{r}, t)$; temperatura: $T(\mathbf{r}, t)$; pressão $p(\mathbf{r}, t)$
 - Campo vetorial:
 - velocidade: $\mathbf{V}(\mathbf{r}, t)$; aceleração: $\mathbf{a}(\mathbf{r}, t)$; força $\mathbf{F}(\mathbf{r}, t)$
 - Campo Tensorial:
 - tensão: $\boldsymbol{\sigma}(\mathbf{r}, t)$; gradiente de velocidade: $\nabla \mathbf{V}(\mathbf{r}, t)$; taxa de deformação $\mathbf{D}(\mathbf{r}, t)$

Prof. Alfredo Alvim

21

21

Técnicas Básicas de Análise

- **Formulação Integral:** equações de conservação são aplicadas a um volume de controle finito
 - menor esforço; resultados globais.
 - ótima ferramenta quando se deseja valores médios e globais.
 - Não fornece detalhes do escoamento.
 - exemplo: força de arraste agindo sobre um objeto
- **Formulação Diferencial:** equações de conservação são aplicadas a um volume de controle infinitesimal
 - maior esforço; resultados pontuais.
 - soluções detalhadas, porém complicadas
 - exemplo: distribuição de pressão ao longo da superfície de um objeto

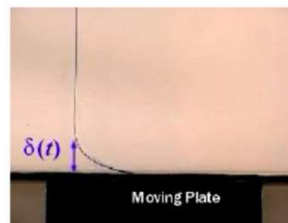
Prof. Alfredo Alvim

22

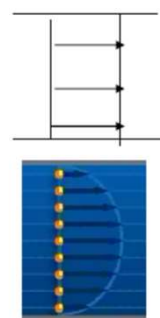
22

Tipos de Escoamento

- Regime permanente:
 - $\mathbf{V} = \mathbf{V}(r)$; isto é $\partial(\) / \partial t = 0$
- Regime transiente:
 - $\mathbf{V} = \mathbf{V}(r, t)$ Caso geral: $\partial(\) / \partial t \neq 0$



- Escoamento uniforme: a velocidade é a mesma em qualquer ponto do escoamento
- Escoamento não uniforme: a velocidade varia de ponto para ponto do escoamento



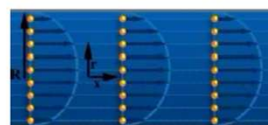
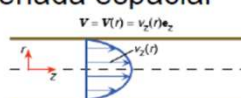
Prof. Alfredo Alvim

23

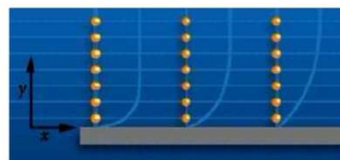
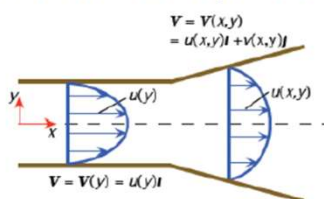
23

Dimensão

- Uni-dimensional: \mathbf{v} depende somente de uma coordenada espacial



- Bi-dimensional: \mathbf{v} depende somente de duas coordenadas espaciais



- Tri-dimensional: \mathbf{v} depende das três coordenadas espaciais, caso geral.

Prof. Alfredo Alvim

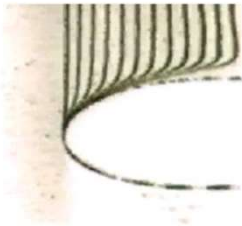
24

24

- Fluido perfeito, sem viscosidade:
 $\tau \approx 0$ ($\dot{\gamma} \approx 0$)
- Fluido viscoso : $\tau \neq 0$

Caracterização dos Fluidos quanto ao seu comportamento sob esforços normais compressivos:

- Compressíveis: quando há variação apreciável de volumes devido à compressão. Gases em geral se comportam assim. $\rho \neq$ constante ($M > 0,3$), onde $M = V/c$ é o número de Mach; c = velocidade do som
- Incompressíveis: quando a variação do volume é pequena para grandes compressões. A maioria dos líquidos se comporta desta forma. $\rho \approx$ constante



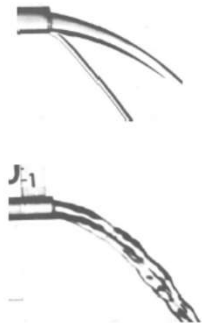
Prof. Alfredo Alvim 25

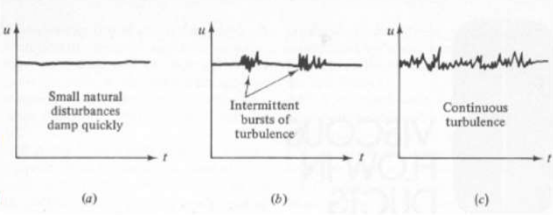
25

Regime de Escoamento:

- Escoamento laminar: movimento regular
- Escoamento Turbulento: aparecem turbilhões no escoamento, causando um movimento de mistura. O turbilhamento provoca um regime não permanente. Porém o tempo característico de flutuação turbulenta \ll escala de tempo que define o regime permanente ou transiente

•Se o escoamento é laminar, eventuais perturbações serão amortecidas e desaparecerão (Fig. a). Durante a transição, picos esporádicos de turbulência surgirão (Fig. b). Durante o regime turbulento, o escoamento flutuará continuamente (Fig. c).





Prof. Alfredo Alvim 26

26

■ Experiência de Reynolds



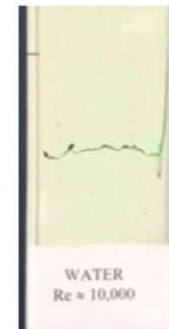
Laminar:
filamento de corante não se mistura

Turbulento: o corante mistura rapidamente

O escoamento turbulento ocorre a altas velocidades. A transição é caracterizada pelo no. de Reynolds

$$Re = \frac{\rho V D}{\mu}$$

- Reynolds altos → esc. turbulento
- Reynolds baixo → esc. laminar

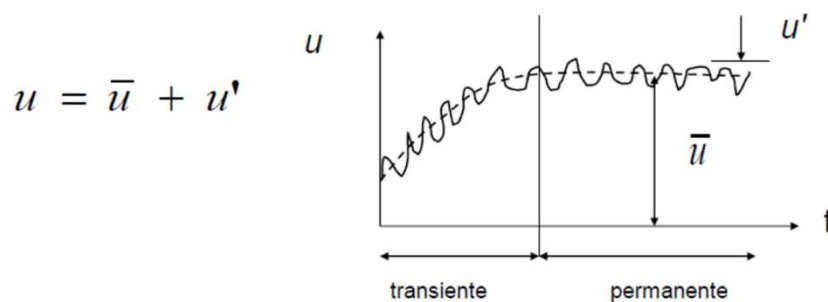


Prof. Alfredo Alvim

27

27

- A análise estatística baseia-se no fato de que o escoamento turbulento pode ser descrito por um valor médio e mais uma flutuação u' (muitas vezes da ordem de 1% a 10% de)



- Para o engenheiro, muitas vezes é suficiente conhecer o comportamento do valor médio.

Prof. Alfredo Alvim

28

28

Equações de Conservação

- Equação de Conservação de Massa (continuidade)
- Equação de Conservação de Quantidade de Movimento Linear (2ª Lei de Newton)
 - Equação de Bernoulli
- Equação de Energia (1ª Lei da termodinâmica)
 - Equação de Bernoulli Modificada
 - Instalações hidráulicas
 - Perda de carga
 - Fator de atrito

Prof. Alfredo Alvim

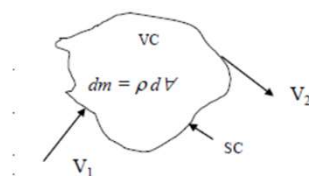
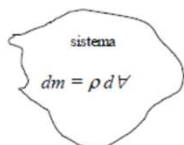
29

29

Teorema de Transporte de Reynolds

- permite transformar as equações para sistema (massa fixa) para volumes de controle (volume fixo)

Variação total de uma grandeza de um sistema = taxa de variação da grandeza específica no VC + fluxo líquido saindo da grandeza específica através da SC



- ϕ = grandeza específica ; ρ = massa específica ;
- dV = volume infinitesimal
- dm = massa infinitesimal ; $dm = \rho dV$;
- $d\Phi$ = grandeza no volume infinitesimal ; $d\Phi = \phi dm = \phi \rho dV$

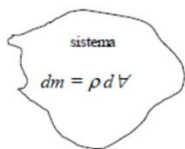
Prof. Alfredo Alvim

30

30

Equação de Conservação de Massa

□ Sistema:



$$\frac{d}{d t} \int_{\nabla_{\text{sistema}}} \rho dV = 0 \Rightarrow \frac{d m}{d t} = 0$$

□ Volume de controle:

$$\frac{\partial}{\partial t} \int_{VC} \rho dV + \int_{SC} \rho \vec{V} \cdot \vec{n} dA = 0$$

A

Varição com o tempo da
da massa do volume de controle

B

Fluxo líquido de massa
através da superfície de controle

Prof. Alfredo Alvim

31

31

Conservação de Massa

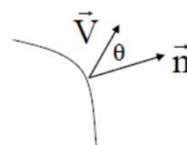
$$\frac{\partial}{\partial t} \int_{VC} \rho dV + \int_{SC} \rho \vec{V} \cdot \vec{n} dA = 0$$

$$m_{VC} = \int_{VC} \rho dV \quad \int_{SC} \rho \vec{V} \cdot \vec{n} dA = \int_{SC} \rho |\vec{V}| \cos \theta dA = \int_{SC} \rho V_n dA$$

$$\dot{m} = \rho V_n A = \text{fluxo de massa} \quad \int_{SC} \rho V_n dA = \sum \dot{m}_s - \sum \dot{m}_e$$

Se escoamento entra ($\theta > 90$) $\cos \theta < 0$

Se escoamento sai ($\theta < 90$) $\cos \theta > 0$



$$\frac{\partial m_{VC}}{\partial t} = \sum \dot{m}_e - \sum \dot{m}_s$$

Prof. Alfredo Alvim

32

32

Regime permanente: $\partial / \partial t = 0$

■ Hipóteses:

- O VC não se move em relação ao sistema de coordenadas
- O estado da massa em cada ponto do VC não varia com o tempo
- Fluxo de massa através da SC e o estado de massa que cruza a SC não variam com o tempo

$$\frac{\partial}{\partial t} \int_{VC} \rho dV = \frac{\partial m_{VC}}{\partial t} = 0$$

Regime permanente: $\int_{SC} \rho \vec{V} \cdot \vec{n} dA = 0 \quad \Sigma \dot{m}_e = \Sigma \dot{m}_s$

Regime permanente, com 1 entrada e 1 saída: $\dot{m}_e = \dot{m}_s$
 $\dot{m} = \text{cte}$

Prof. Alfredo Alvim

33

33

Equação de Conservação de Quantidade de Movimento

(2ª. Lei de Newton)

Na **formulação integral**, vamos usar o teorema de transporte de Reynolds:

$$\left. \frac{dN}{dt} \right|_{sist} = \frac{\partial}{\partial t} \int_{VC} \rho \eta dV + \int_{SC} \eta \rho \vec{V} \cdot \vec{n} dA$$

N Propriedade extensiva
 $\eta = \frac{N}{m}$ Propriedade intensiva

Prof. Alfredo Alvim

34

34

Conservação de Quantidade de Movimento Linear

$$N = m\vec{V} \quad \eta = \vec{V} \quad \Rightarrow \quad \left. \frac{d(m\vec{V})}{dt} \right|_{sist} = \frac{\partial}{\partial t} \int_{VC} \rho \vec{V} dV + \int_{SC} \rho \vec{V} (\vec{V} \cdot \vec{n} dA)$$

Taxa de variação da quantidade de movimento no volume de controle
Fluxo de quantidade de movimento através da superfície de controle

Pela segunda Lei de Newton: $\left. \frac{d(m\vec{V})}{dt} \right|_{sist} = \Sigma \vec{F}_{ext}$

$$\Sigma \vec{F}_{ext} = \frac{\partial}{\partial t} \int_{VC} \rho \vec{V} dV + \int_{SC} \rho \vec{V} (\vec{V} \cdot \vec{n} dA)$$


$$\Sigma F_x = \frac{\partial}{\partial t} \int_{VC} \rho v_x dV + \int_{SC} \rho v_x (\vec{V} \cdot \vec{n} dA)$$

$$\Sigma F_y = \frac{\partial}{\partial t} \int_{VC} \rho v_y dV + \int_{SC} \rho v_y (\vec{V} \cdot \vec{n} dA)$$

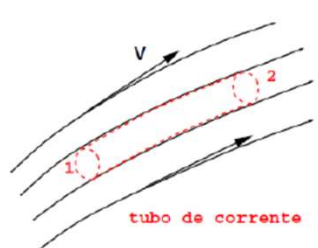
Prof. Alfredo Alvim 35

35

Linha de corrente: linha tangente ao vetor velocidade



Tubo de corrente: é a região do escoamento delimitada por linhas de corrente.



Prof. Alfredo Alvim 36

36

Equação de Bernoulli

Considere um tubo de corrente, regime permanente, sem perdas

Eq. Continuidade:
$$\frac{\partial}{\partial t} \int_{VC} \rho dV + \int_{SC} \rho \vec{V} \cdot \vec{n} dA = 0$$

$$\int_{SC} \rho \vec{V} \cdot \vec{n} dA = 0 \Rightarrow \dot{m} = \rho VA = cte$$

Eq. Quantidade de Movimento

$$\Sigma \vec{F}_{ext} = \frac{\partial}{\partial t} \int_{VC} \rho \vec{V} dV + \int_{SC} \rho \vec{V} (\vec{V} \cdot \vec{n} dA)$$

$$-dp A + \rho g A dz = \dot{m}(V_2 - V_1) = \rho VA dV \quad -\frac{dp}{\rho} + g dz = \frac{dV^2}{2}$$

Prof. Alfredo Alvim

37

37

integrando

$$\frac{p}{\rho} + g z + \frac{V^2}{2} = cte$$

Equação de Bernoulli

ou seja:

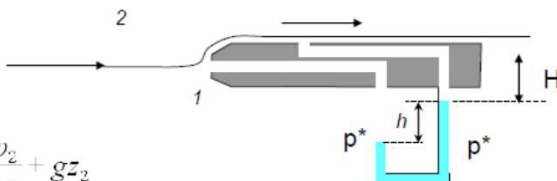
$$\frac{p_2}{\rho} + \frac{V_2^2}{2} + g z_2 = \frac{p_1}{\rho} + \frac{V_1^2}{2} + g z_1$$

Prof. Alfredo Alvim

38

38

**Tubo de Pitot:
Medidor de velocidade**



$$\frac{V_1^2}{2} + \frac{p_1}{\rho} + gz_1 = \frac{V_2^2}{2} + \frac{p_2}{\rho} + gz_2$$

$$\frac{p_1}{\rho} = \frac{V^2}{2} + \frac{p_2}{\rho} \Rightarrow V = \sqrt{2 \frac{p_1 - p_2}{\rho}}$$

$$p^* = p_1 + \rho g h + \rho g H$$

$$p^* = p_2 + \rho_m g h + \rho g H$$

$$\frac{p_1 - p_2}{\rho} = \frac{(\rho_m - \rho) g h}{\rho}$$

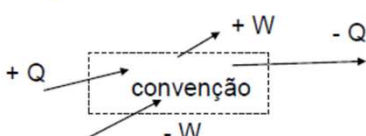
se $\rho_m \gg \rho \Rightarrow \frac{p_1 - p_2}{\rho} \cong \frac{\rho_m g h}{\rho}$

$$V = \sqrt{\frac{2(\rho_m - \rho) g h}{\rho}}$$

Prof. Alfredo Alvim 39

39

1a. Lei da Termodinâmica para sistemas:

$$dE = \delta Q - \delta W$$


Taxa de variação de energia de sistemas =
= taxa de energia que entra – taxa de energia que sai

$$\frac{dE}{dt} = \frac{\delta Q}{dt} - \frac{\delta W}{dt}$$

Potência: energia/tempo
Unidades: J/s = W (Watts) ; Btu/h, HP=0,75 kW= 2545 Btu/h

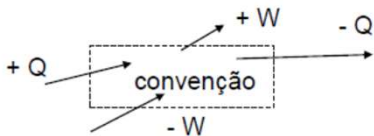
Prof. Alfredo Alvim 40

40

1a. Lei da Termodinâmica para volumes de controle:

$$dt \rightarrow 0: \lim_{dt \rightarrow 0} \frac{\delta Q}{dt} = \dot{Q} \rightarrow \text{taxa de transferência de calor}$$

$$dt \rightarrow 0: \lim_{dt \rightarrow 0} \frac{\delta W}{dt} = \dot{W} \rightarrow \text{taxa de transferência de trabalho}$$

$$\frac{dE}{dt} = \frac{\delta Q}{dt} - \frac{\delta W}{dt} \Rightarrow \frac{dE}{dt} = \dot{Q} - \dot{W}$$


$$\left. \frac{dE}{dt} \right|_{\text{sistema}} = \frac{\partial}{\partial t} \int_{VC} e \rho dV + \int_{SC} e \rho \vec{V} \cdot \vec{n} dA$$

Prof. Alfredo Alvim

41

41

1a. Lei para volumes de controle;

$$\dot{Q} - \dot{W} = \frac{\partial}{\partial t} \int_{VC} e \rho dV + \int_{SC} e \rho \vec{V} \cdot \vec{n} dA$$

$$\text{energia} \quad e = u + \frac{V^2}{2} + gz$$

total = interna + cinética + potencial

Existem diversas formas de trabalho, logo é conveniente reescrever esta equação, explicitando algumas formas de trabalho

$$\text{Trabalho: } W = W_{\text{superfície}} + W_{\text{eixo}} + W_{\text{outros}}$$

Prof. Alfredo Alvim

42

42

Trabalho: $W = W_{\text{superfície}} + W_{\text{eixo}} + W_{\text{outros}}$

$$\delta W = d\vec{F} \cdot d\vec{r}$$

Força: $d\vec{F}_{\text{superfície}} = d\vec{F}_{\text{normal}} + d\vec{F}_{\text{tangencial}}$

Força normal: $d\vec{F}_{\text{normal}} = -p \, dA \, \vec{n}$ **Trabalho sob o VC** $\delta W_{\text{normal}} = p \, dA \, \vec{n} \cdot d\vec{r}$

p: pressão normal compressiva

Força tangencial: $d\vec{F}_{\text{tangencial}} = \tau \, dA \, \vec{t}$ **Trabalho sob o VC** $\delta W_{\text{tangencial}} = -\tau \, dA \, \vec{t} \cdot d\vec{r}$

τ : tensão viscosa

Prof. Alfredo Alvim

43

43

Potência: $\dot{W} = \frac{\delta W}{dt} = \dot{W}_n + \dot{W}_t + \dot{W}_e + \dot{W}_{\text{outros}}$

$$\delta W = d\vec{F} \cdot d\vec{r}$$

$$\delta \dot{W} = d\vec{F} \cdot d\vec{V}$$

Potência devido aos esforços normais, taxa de trabalho de fluxo

$$\dot{W}_n = \int_{SC} p \, \vec{V} \cdot \vec{n} \, dA = \int_{SC} \frac{p}{\rho} \rho \, \vec{V} \cdot \vec{n} \, dA$$

Potência devido aos esforços tangenciais

$$\dot{W}_t = \int_{SC} \tau \, \vec{V} \cdot \vec{t} \, dA \quad \text{se } \vec{V} \perp \vec{t} \Rightarrow \dot{W}_t = 0$$

Prof. Alfredo Alvim

44

44

1a. Lei para volumes de controle

$$\dot{Q} - \dot{W}_e - \dot{W}_t - \dot{W}_{outros} = \frac{\partial}{\partial t} \int_{VC} e \rho dV + \int_{SC} \left(e + \frac{p}{\rho} \right) \rho \vec{V} \cdot \vec{n} dA$$

$$e = u + \frac{V^2}{2} + gz$$

Em geral $\dot{W}_t = \dot{W}_{outros} = 0$

$$\dot{Q} - \dot{W}_e = \frac{\partial}{\partial t} \int_{VC} \left(u + \frac{V^2}{2} + gz \right) \rho dV + \int_{SC} \left(u + \frac{p}{\rho} + \frac{V^2}{2} + gz \right) \rho \vec{V} \cdot \vec{n} dA$$

entalpia $h = u + \frac{p}{\rho}$

Prof. Alfredo Alvim

45

45

Instalações hidráulicas

- **Objetivo:** Cálculo de perda de carga e potência em instalações de bombeamento
- Considerando
 - regime permanente
 - uma entrada e uma saída:

Conservação de Massa $\frac{\partial}{\partial t} \int_{VC} \rho dV + \int_{SC} \rho \vec{V} \cdot \vec{n} dA = 0$

$$\dot{m} = \rho V_1 A_1 = \rho V_2 A_2$$

Prof. Alfredo Alvim

46

46

Instalações hidráulicas

1a. Lei da termodinâmica

$$\dot{Q} - \dot{W}_e = \frac{\partial}{\partial t} \int_{VC} \left(u + \frac{V^2}{2} + gz \right) \rho dV + \int_{SC} \left(u + \frac{p}{\rho} + \frac{V^2}{2} + gz \right) \rho \vec{V} \cdot \vec{n} dA$$

$$\frac{-\dot{W}_e}{\dot{m} g} = \left[\frac{p_2}{\gamma} - \frac{p_1}{\gamma} \right] + (z_2 - z_1) + \left[\frac{V_2^2}{2g} - \frac{V_1^2}{2g} \right] + \underbrace{\left\{ \frac{1}{g} \left[(u_2 - u_1) - \frac{\delta Q}{dm} \right] \right\}}_{h_{L12}}$$



Energia mecânica por unidade de massa do escoamento

Perda de energia entre os pontos 1 e 2 ⇒ Perda de carga

$$\frac{-\dot{W}_e}{\dot{m} g} = \left[\frac{p_2}{\gamma} - \frac{p_1}{\gamma} \right] + (z_2 - z_1) + \left[\frac{V_2^2}{2g} - \frac{V_1^2}{2g} \right] + h_{L12}$$

Prof. Alfredo Alvim

47

47

Perda de carga

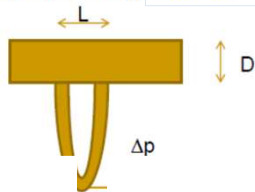
perda da carga = perda da carga contínua + perda de carga localizada

$$h_{L12} = h_{L12_{contínua}} + h_{L12_{AC}}$$

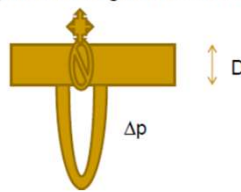
Geralmente a perda da carga é determinada empiricamente.

$$\underbrace{\frac{-\dot{W}_e}{\dot{m} g}}_{zero} = \underbrace{\left[\frac{p_2}{\gamma} - \frac{p_1}{\gamma} \right]}_{zero} + \underbrace{(z_2 - z_1)}_{zero} + \underbrace{\left[\frac{V_2^2}{2g} - \frac{V_1^2}{2g} \right]}_{zero} + h_{L12} \quad h_{L12} = \frac{\Delta p}{\gamma}$$

➤ perda da carga contínua



➤ perda da carga em acidente



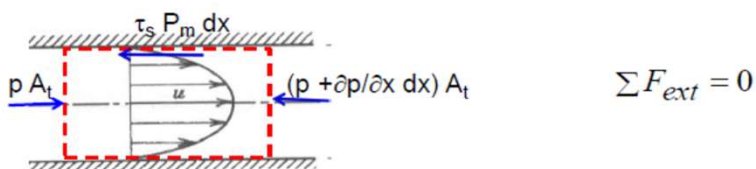
Prof. Alfredo Alvim

48

48

■ Perda de carga continua , distribuida

- Escoamento hidrodinamicamente desenvolvido, na presença de gradiente de pressão



$$p A_t - \left(p + \frac{\partial p}{\partial x} dx\right) A_t - \tau_s P_m dx = 0$$

$$\tau_s = -\frac{\partial p}{\partial x} \frac{A_t}{P_m} = -\frac{\partial p}{\partial x} \frac{D_h}{4}$$

Independente
do regime de
escoamento

Prof. Alfredo Alvim

49

49

■ Perda de carga continua distribuida

Definindo queda de pressão adimensional ou fator de atrito

$$f = \frac{\left(-\frac{\partial p}{\partial x}\right) D_h}{\frac{1}{2} \rho u_m^2} \Rightarrow \left(-\frac{\partial p}{\partial x}\right) = f \frac{1}{D_h} \rho \frac{u_m^2}{2}$$

$$-\frac{\partial p}{\partial x} = \frac{\Delta p}{L}$$

•Perda de carga:

$$h_{L_{\text{continua distribuida}}} = \frac{\Delta p}{\gamma} = \frac{\Delta p}{\rho g} = f \frac{L}{D} \frac{u_m^2}{2g}$$

Prof. Alfredo Alvim

50

50

fator de atrito

$$f = \frac{\left(-\frac{\partial P}{\partial x} \right) D_h}{\frac{1}{2} \rho u_m^2}$$

depende do número de Reynolds

$$\mathbf{Re} = \frac{\rho u_m D_h}{\mu}$$

Prof. Alfredo Alvim

51

51

O número de Reynolds que caracteriza a transição neste caso é

$$\mathbf{Re} = \frac{\rho u_m D_h}{\mu} \quad \begin{array}{l} \mathbf{Re} \leq 2300 \Rightarrow \text{laminar} \\ \mathbf{Re} > 2300 \Rightarrow \text{turbulento} \end{array}$$

- A velocidade característica é a **velocidade média** u_m

$$u_m = \frac{Q}{A_T} = \frac{1}{A_T} \int u \, dA$$

- A dimensão característica é o **diâmetro hidráulico**, D_h

$$D_h = \frac{4 A_t}{P_m}$$

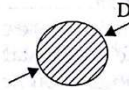
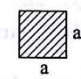
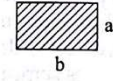
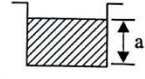
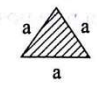
A_t é a área transversal do escoamento e P_m é o perímetro molhado, o fator 4 é introduzido por conveniência.

Prof. Alfredo Alvim

52

52

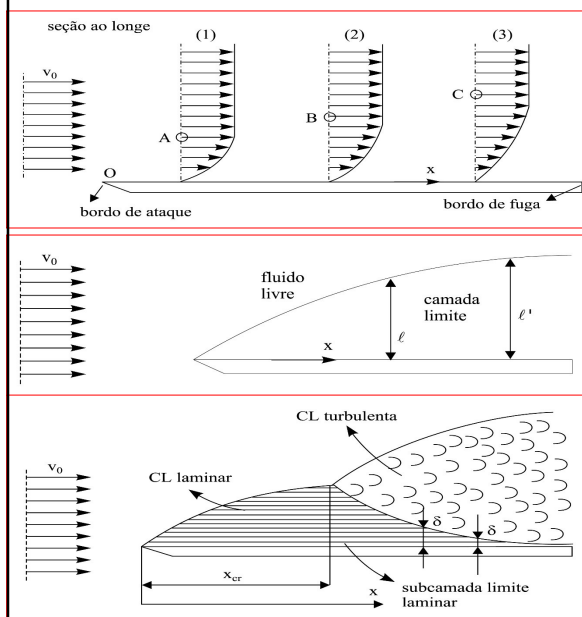
-Raio Hidráulico ($R_H = A / P$) e
 Diâmetro Hidráulico ($D_H = 4 \cdot R_H$) onde:
 P – perímetro molhado
 A - area transversal de escoamento

	A		R_H	D_H
	$\frac{\pi D^2}{4}$	πD	$\frac{D}{4}$	D
	a^2	$4a$	$\frac{a}{4}$	a
	ab	$2(a + b)$	$\frac{ab}{2(a + b)}$	$\frac{2ab}{(a + b)}$
	ab	$2a + b$	$\frac{ab}{2a + b}$	$\frac{4ab}{2a + b}$
	$\frac{a^2 \sqrt{3}}{4}$	3a	$\frac{a \sqrt{3}}{12}$	$\frac{a \sqrt{3}}{3}$

7-53

53

- Camada Limite numa placa plana



$$Re_x = \rho \cdot V_o \cdot x / \mu = V_o \cdot x / \nu$$

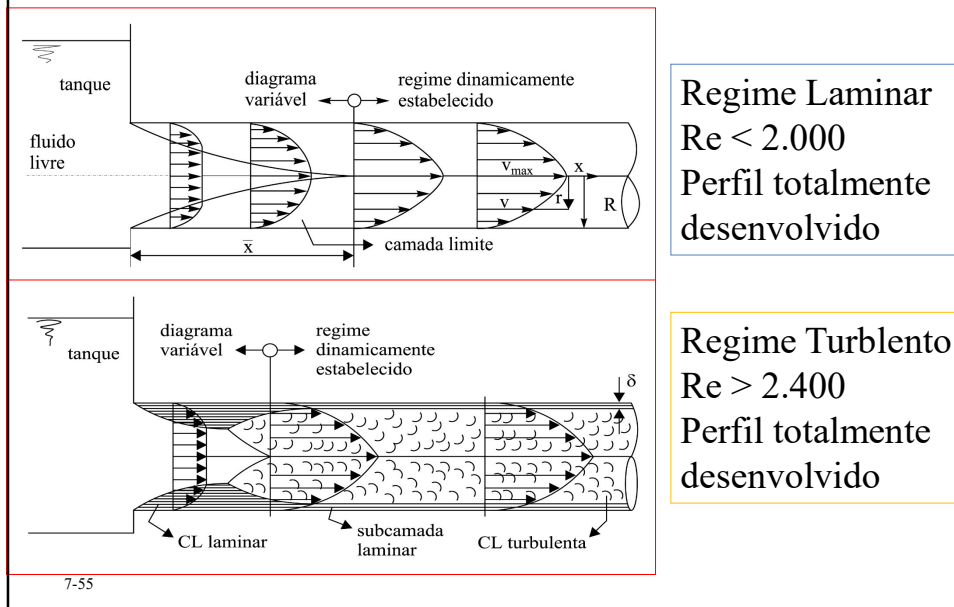
$$Re_{cr} = \rho \cdot V_o \cdot x_{cr} / \mu = 500.000$$

$$x_{cr} = 500.000 \cdot \mu / \rho \cdot V_o$$

x_{cr} -Passagem laminar para turbulento

54

-Desenvolvimento da camada limite em condutos forçados. Exemplo: descarga de um tanque



55

fator de atrito

$$f = \frac{\left(-\frac{\partial p}{\partial x} \right) D_h}{\frac{1}{2} \rho u_m^2} \quad \text{Re} = \frac{\rho u_m D_h}{\mu}$$

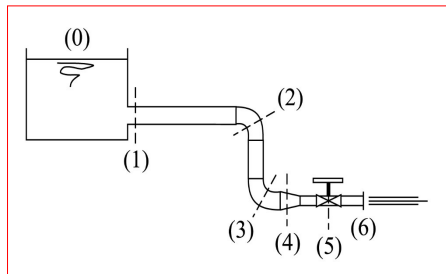
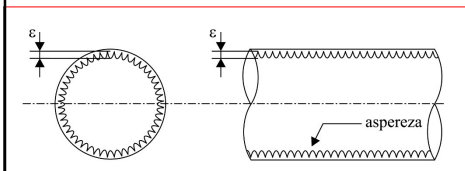
- Para escoamento laminar, $f \text{Re} = \text{cte}$
- Para geometria simples, o fator de atrito pode ser calculado analiticamente
 - Duto circular: $f \text{Re} = 64$
 - Placas paralelas: $f \text{Re} = 96$
 - Duto quadrado: $f \text{Re} = 56$
 - Duto anular: $f \text{Re}$ depende da razão de raios $r_{\text{ex}}/r_{\text{in}}$

Prof. Alfredo Alvim

56

56

-Rugosidade(ϵ) = asperezas
 ϵ / D_H = rugosidade relativa
 K = rugosidade equivalente



- Classificação das perdas de cargas

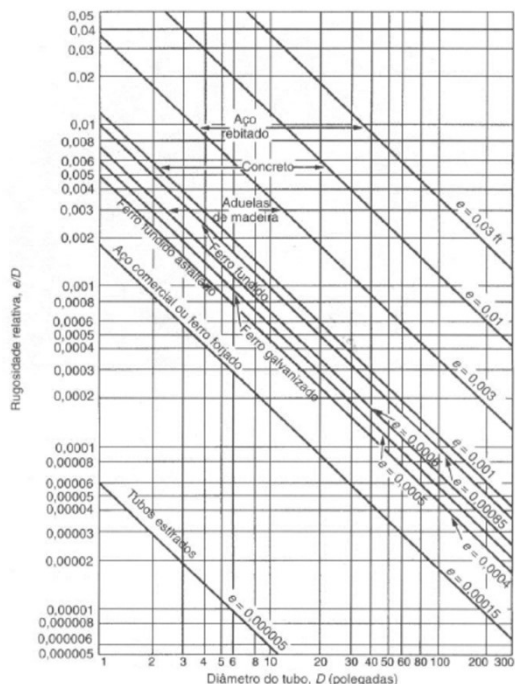
$$H_{P,0,6} = \sum h_f + \sum h_s$$

h_f – perdas distribuídas(contínua)
 h_s – perdas singulares/localizadas

(6) - expansão/saída , (1) – estreitamento , (4) – redução,
 (2) e (3) – cotovelos/ joelhos, (5) - válvula

7-57

57



A rugosidade relativa depende do material da tubulação e do diâmetro da mesma

58

58

Perda de carga

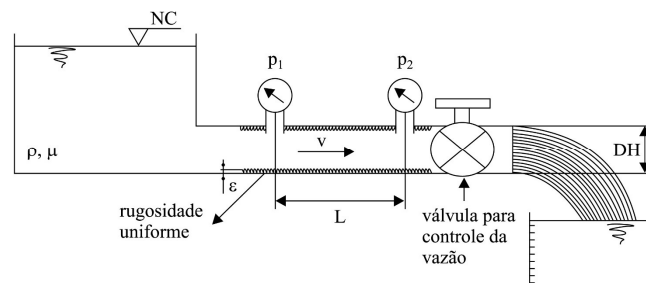
$$H_P = \sum h_F + \sum h_S$$

- A perda ocorre devido a viscosidade do fluido, rugosidade dos dutos e a presença de singularidades.
- As singularidades, geram perdas devido à mudanças de direção e de área de escoamento, h_s .
- A perda distribuída (contínua), h_f , ocorre devido a viscosidade do fluido e rugosidade dos dutos.

7-59

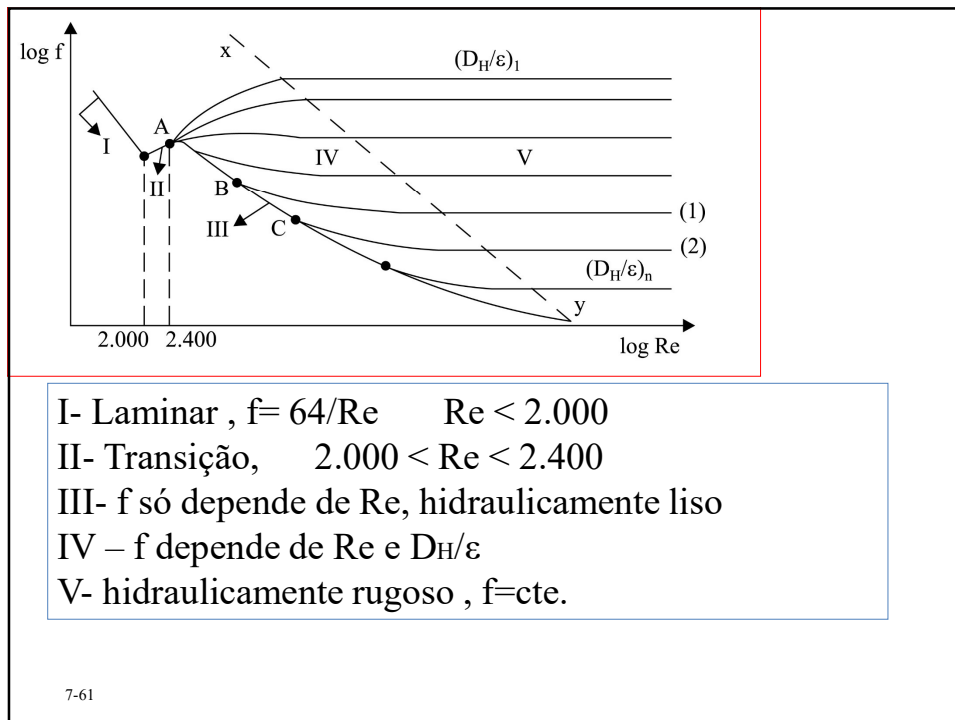
59

7.5 – Experiência de Nikuradse



7-60

60



61

Para projetos: calculando-se número de Reynolds e se precisar através do diagrama de Moody ou Rouse

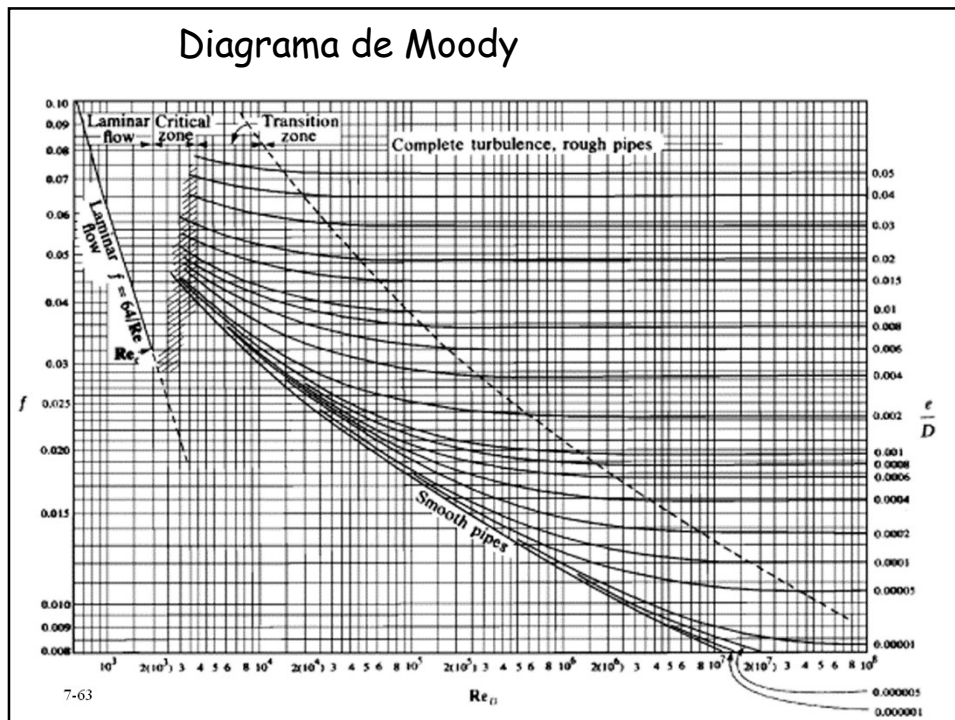
$$Re = \frac{\rho \times v \times D_H}{\mu} = \frac{v \times D_H}{\nu}$$

Se $Re \leq 2000 \rightarrow$ escoamento laminar

$$\therefore f = \frac{64}{Re}$$

Para o escoamento turbulento recorre-se aos diagramas

62



63

- Existem algumas correlações matemáticas como opção para o diagrama de Moody

- Blasius (Tubo liso):

$$f = \frac{0,3164}{Re^{0,25}}$$

- Colebrook:

$$\frac{1}{f^{0,5}} = -2,0 \log \left(\frac{\varepsilon / D}{3,7} + \frac{2,51}{Re f^{0,5}} \right)$$

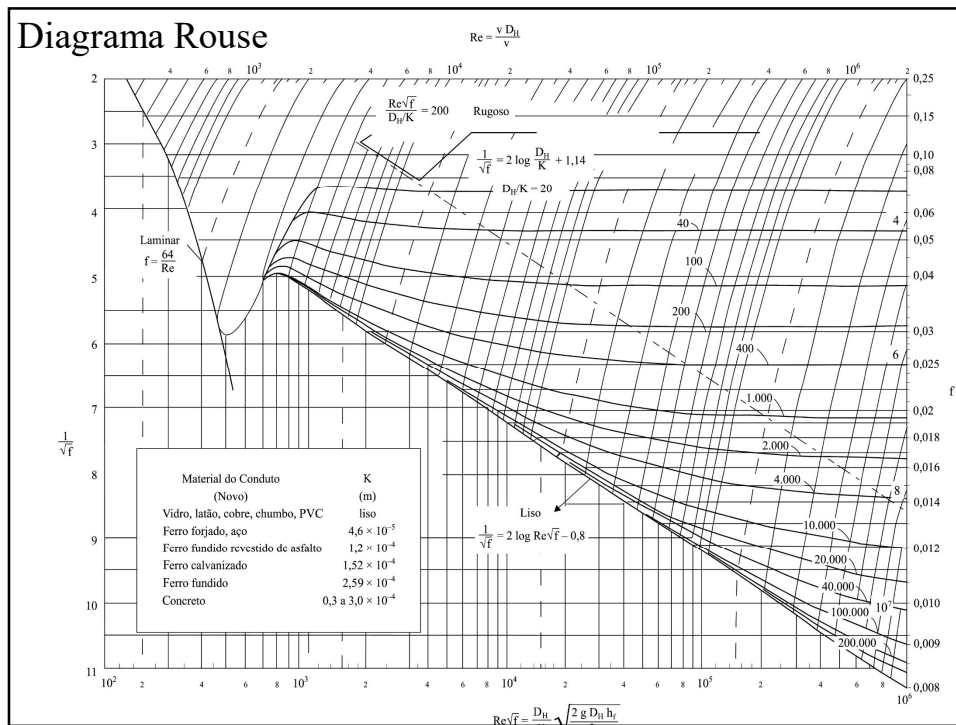
- Estimativa inicial \Rightarrow Miller

$$f_o = 0,25 \left[\log \left(\frac{\varepsilon / D}{3,7} + \frac{5,74}{Re^{0,9}} \right) \right]^{-2}$$

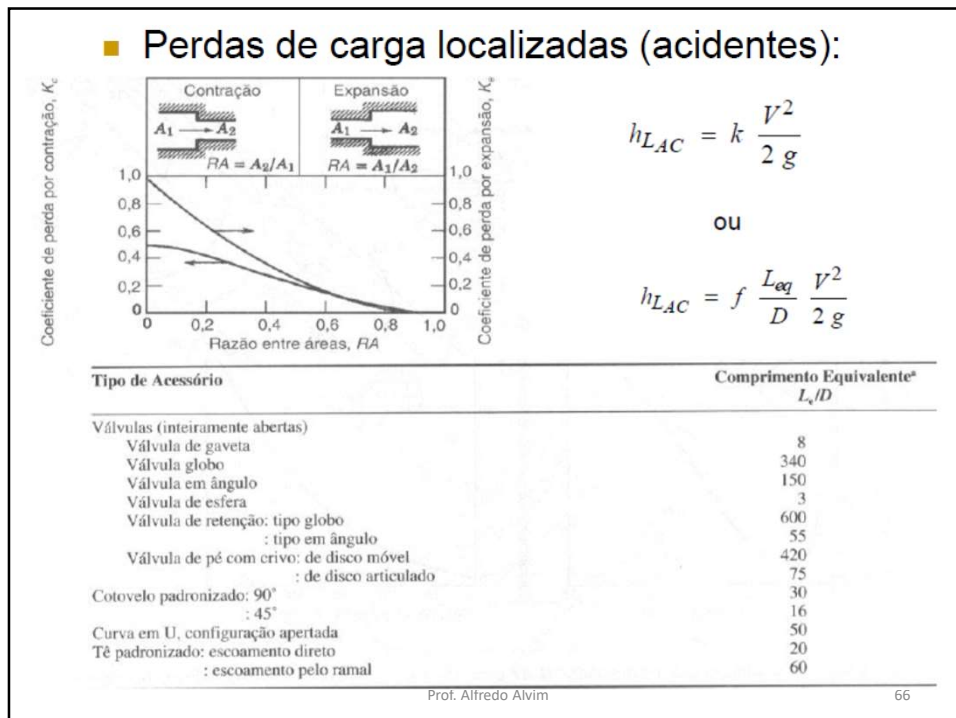
Prof. Alfredo Alvim

64

64



65



66

Perda Carga Singular: válvulas, acidentes, alargamentos, tês, curvas, uniões, etc...

$$h_s = K_s \times \frac{v^2}{2g} = K_s \times \frac{Q^2}{2g \times A^2}$$

K_s → coeficiente de perda singular ou localizada

v → velocidade média do escoamento

g → aceleração da gravidade

Q → vazão do escoamento

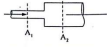
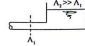
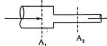


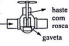
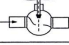

A → área da seção formada pelo fluido

Existe outra maneira :

$$h_s = f \times \frac{L_{eq}}{D_H} \times \frac{v^2}{2g}$$

L_{eq} → comprimento equivalente

$$\rightarrow L_{equ} = \frac{K_s \times D_H}{f}$$

Singularidade	Esquema	k_s
Alargamento		$(1 - A_1/A_2)$ (no caso, $v = v_1$)
Caso limite		1
Estreitamento		$\phi (A_1/A_2)$
Caso limite		0,5
Cotovelo a 90°		0,9
Válvula de gaveta		Totalmente aberta 0,2
Válvula tipo globo		Totalmente aberta 10
Válvula de retenção		0,5

67

Perdas Totais ;

$$H_P = \Sigma h_F + \Sigma h_S$$

$$H_P = \Sigma f \cdot \frac{L_{real}}{D_H} \cdot \frac{V^2}{2 \cdot g} + \Sigma f \cdot \frac{L_{equ}}{D_H} \cdot \frac{V^2}{2 \cdot g}$$

$$HP = f \left(\frac{L_{real} + L_{equ}}{D_H} \right) \cdot \frac{V^2}{2 \cdot g}$$

68

FIM 6ª AULA
até semana que vem
se cuidem



Prof. Alfredo Alvim

69